

Kapazitätsspektroskopie an selbstorganisierten Quantenpunkten



A. Rack, R. Wetzler, A. Wacker, E. Schöll Institut für Theoretische Physik, TU Berlin C.M.A. Kapteyn, R.Heitz, D. Bimberg Institut für Festkörperphysik, TU Berlin

- Motivation
- Experiment
- Theorie
- Numerisches Verfahren
- Ergebnisse
 - InAs Quantenpunkte
 - Ge Quantenpunkte
- Zusammenfassung







Experiment:

CV-Kennlinie von Quantenpunkt-Bauelementen

Theorie:

CV-Kennlinie aus stationärer selbstkonsistenter Lösung der Poisson-Gleichung

Vergleich

Energieniveaus

inhomogene Verbreiterung

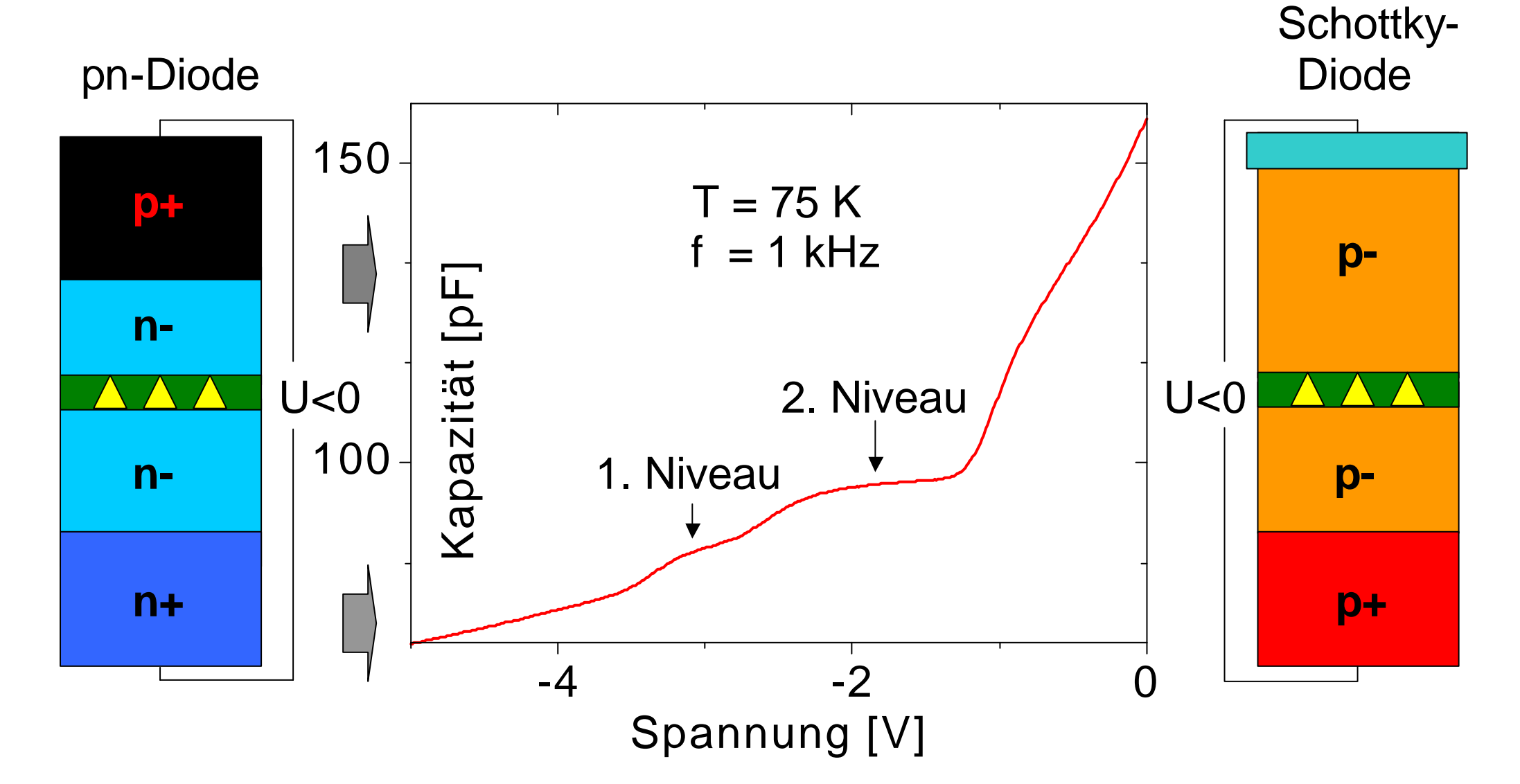
Einfluß von Wachstumsparametern

Wechselwirkung Quantenpunkte mit Umgebung



<u> Experiment</u>





Wetzler, Kapteyn et al., APL 2000





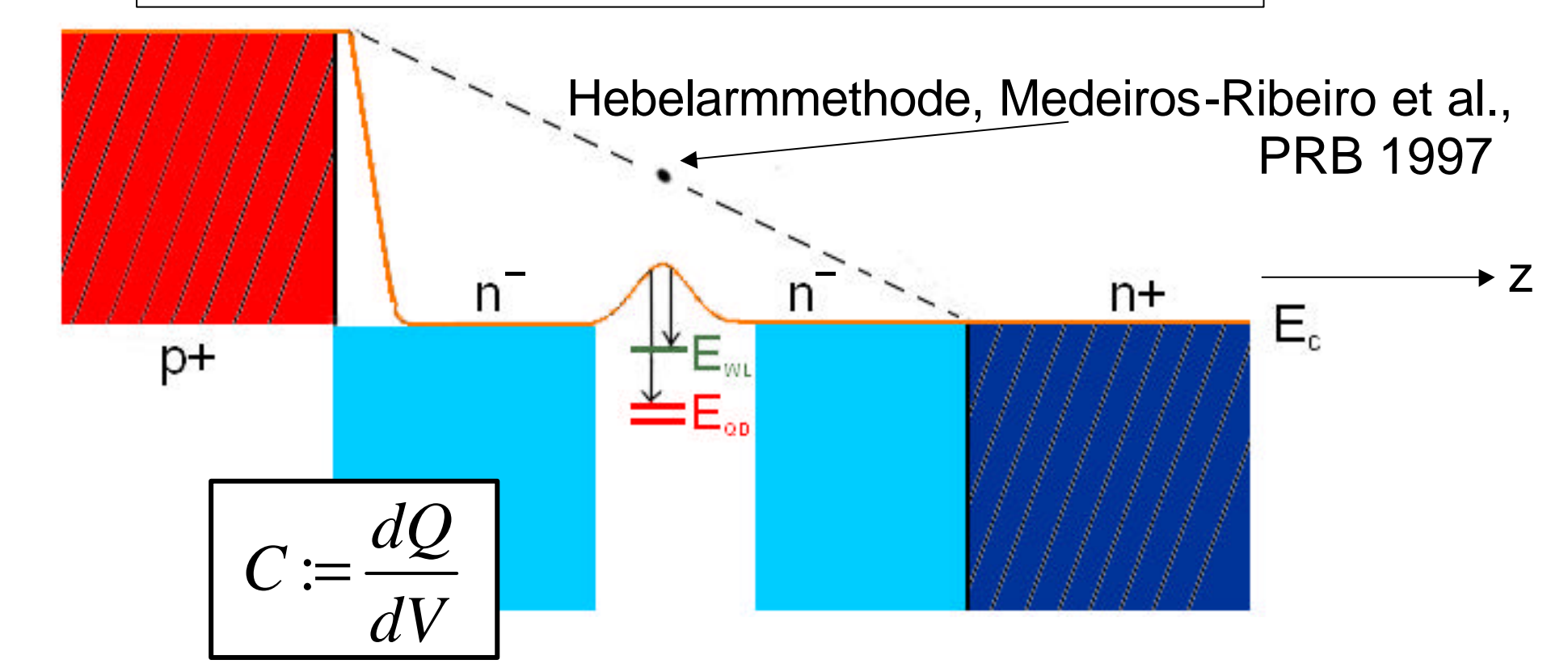
Poisson-Gleichung

Stromgleichungen

$$\left| \boldsymbol{e}_0 \cdot \boldsymbol{e} \cdot \partial_z^2 \Phi(z) \right| = -\boldsymbol{r}(z)$$

$$\partial_z j_{n,p}(z) = 0$$

$$\mathbf{r}(z) = e \cdot \left[p^{3d} - n^{3d} + N_D^+ - N_A^- + \mathbf{p}^{QD} - \mathbf{n}^{QD} + \mathbf{p}^{WL} - \mathbf{n}^{WL} \right]$$

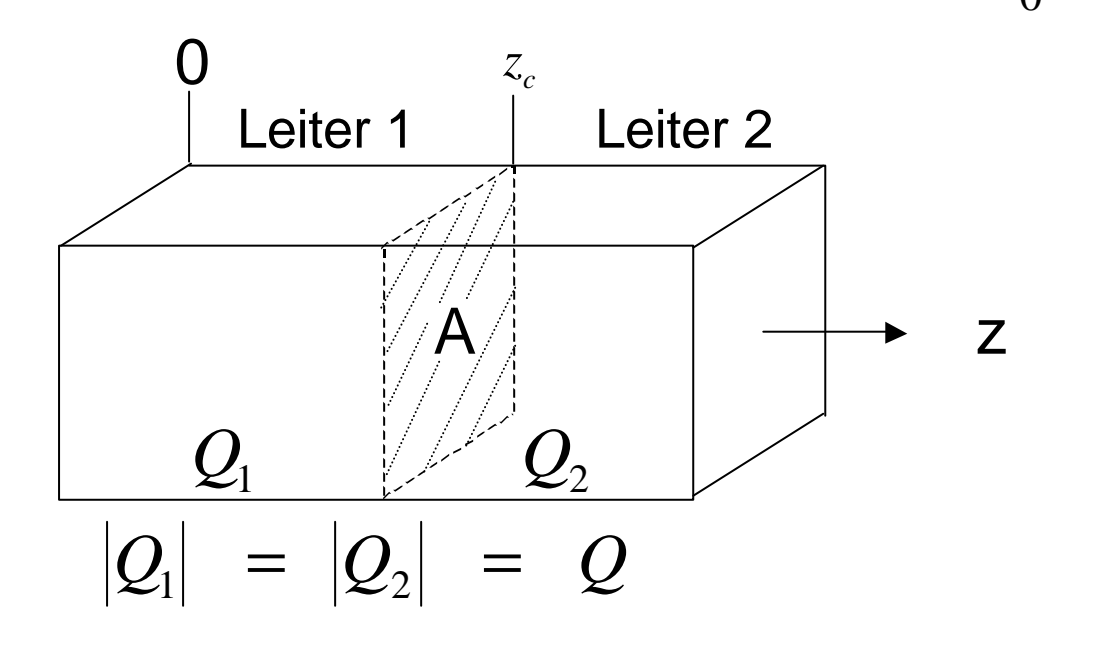






Gauß'scher Satz:

$$\frac{1}{\boldsymbol{e} \cdot \boldsymbol{e}_0} \cdot Q = \int_V div E d^3 r$$



$$= A \cdot \int_0^{z_c} \partial_z E \ dz$$
$$= A \cdot (E|_{z_c} - E|_0)$$

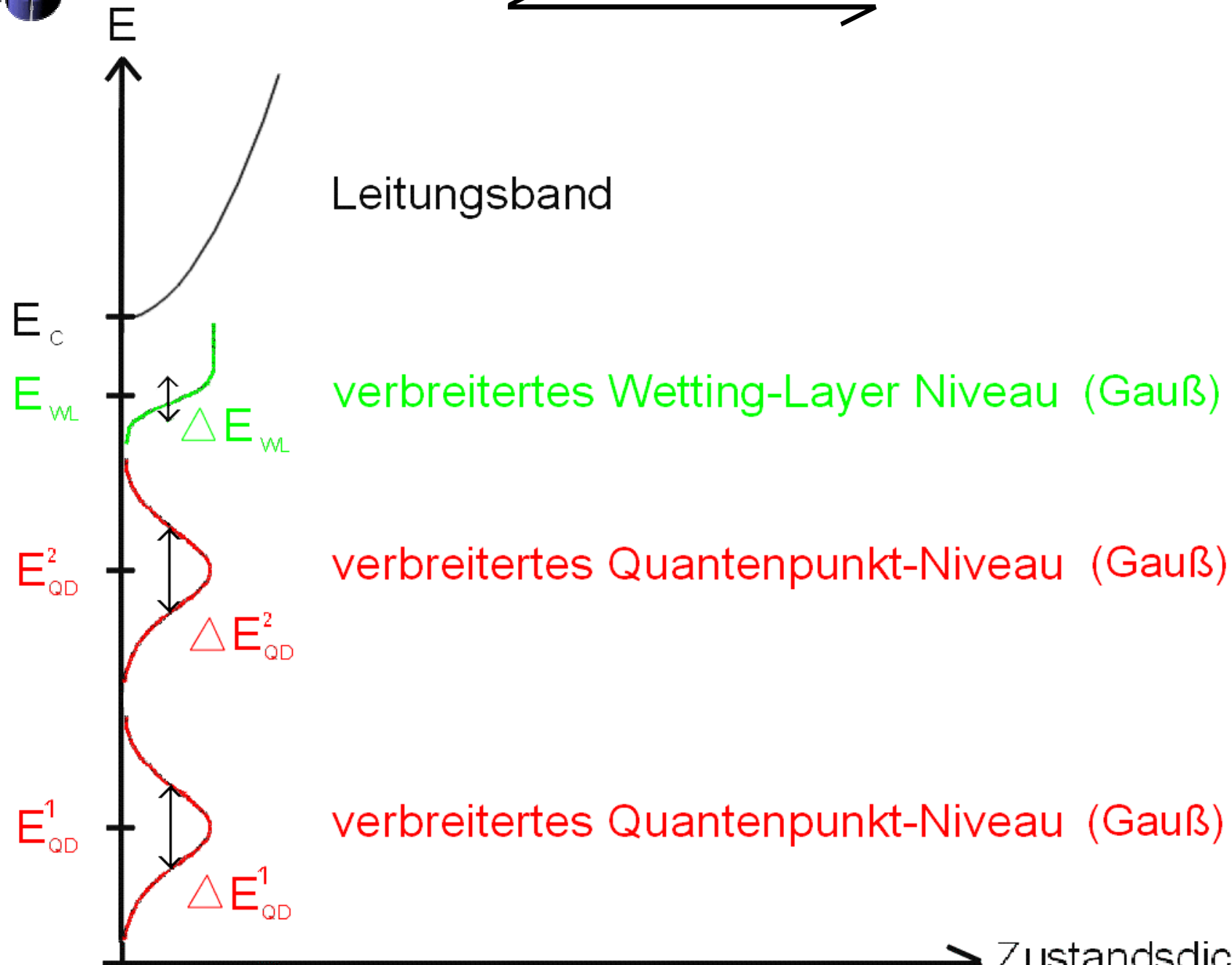
$$= A \cdot \left| \partial_z \Phi \right|_{z_c}$$

$$\Leftrightarrow Q = \mathbf{e} \cdot \mathbf{e}_0 \cdot A \cdot \left| \partial_z \Phi \right|_{z_c}$$

$$\Rightarrow C = \frac{dQ}{dV}$$











verbreiterte Quantenpunkt-Niveaus (Gauß)

$$n^{QD} = \frac{N_{QD}}{d_{QD}} \cdot \sum_{j} \frac{\boldsymbol{a}_{j}}{\boldsymbol{s}_{j} \sqrt{2\Pi}} \cdot \int_{-\infty}^{\infty} \exp \left(-\frac{(E - \overline{E}_{C} + \boldsymbol{E}_{j})^{2}}{2\boldsymbol{s}_{j}^{2}}\right) \cdot f(E - \overline{E}_{Fn}) dE$$

verbreitertes Wetting-Layer Niveau (Gauß)

$$n^{WL} = N_c^{2d} \cdot \frac{1}{d_{QD}} \cdot \frac{1}{\mathbf{s}\sqrt{2\Pi}} \cdot \int_{-\infty}^{\infty} F_0 \left(\frac{E_{Fn} - \mathbf{E}_{WL}}{k_b T} \right) \cdot \exp \left(-\frac{(E - \overline{E}_C + \mathbf{E}_{WL})^2}{2\mathbf{s}^2} \right) dE$$



Numerisches Verfahren



Struktur des Bauteils

- Schichtdicken
- Dotierungsdichten der Kontakte

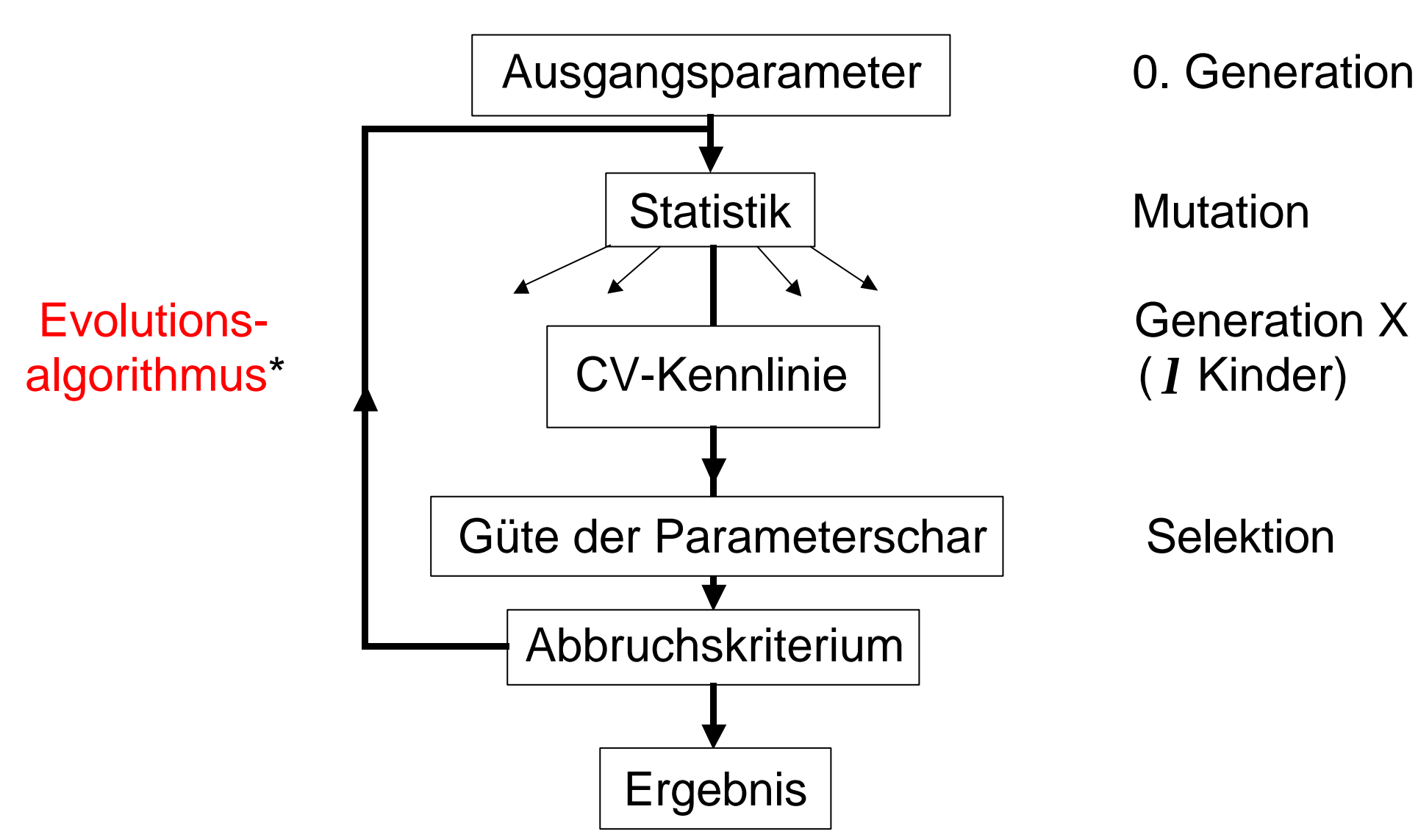
Parameter

- $\mathcal{L}_{QD}^{1..N}, \ \Delta E_{QD}^{1..N}$
- \mathbf{E}_{WL} , ΔE_{WL}
- Dotierungsdichten
- verschiedene Wachstumseinflüsse
- Quantenpunktdichte



Numerisches Verfahren



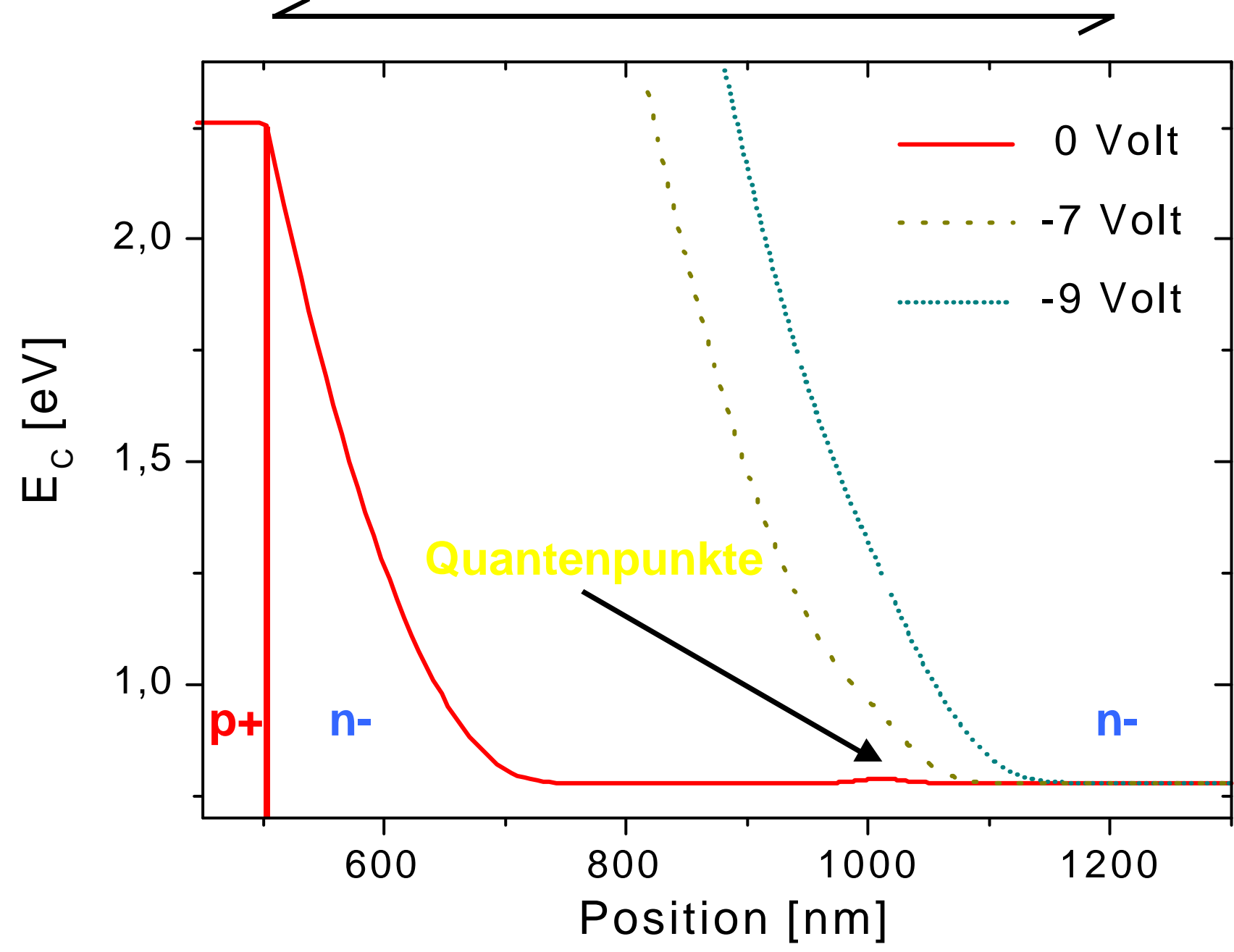


^{*} Ostermeier, Gawelczyk, Hansen, TR-93-003, 1993



Leitungsband S1: InAs Quantenpunkte in pnin-Diode

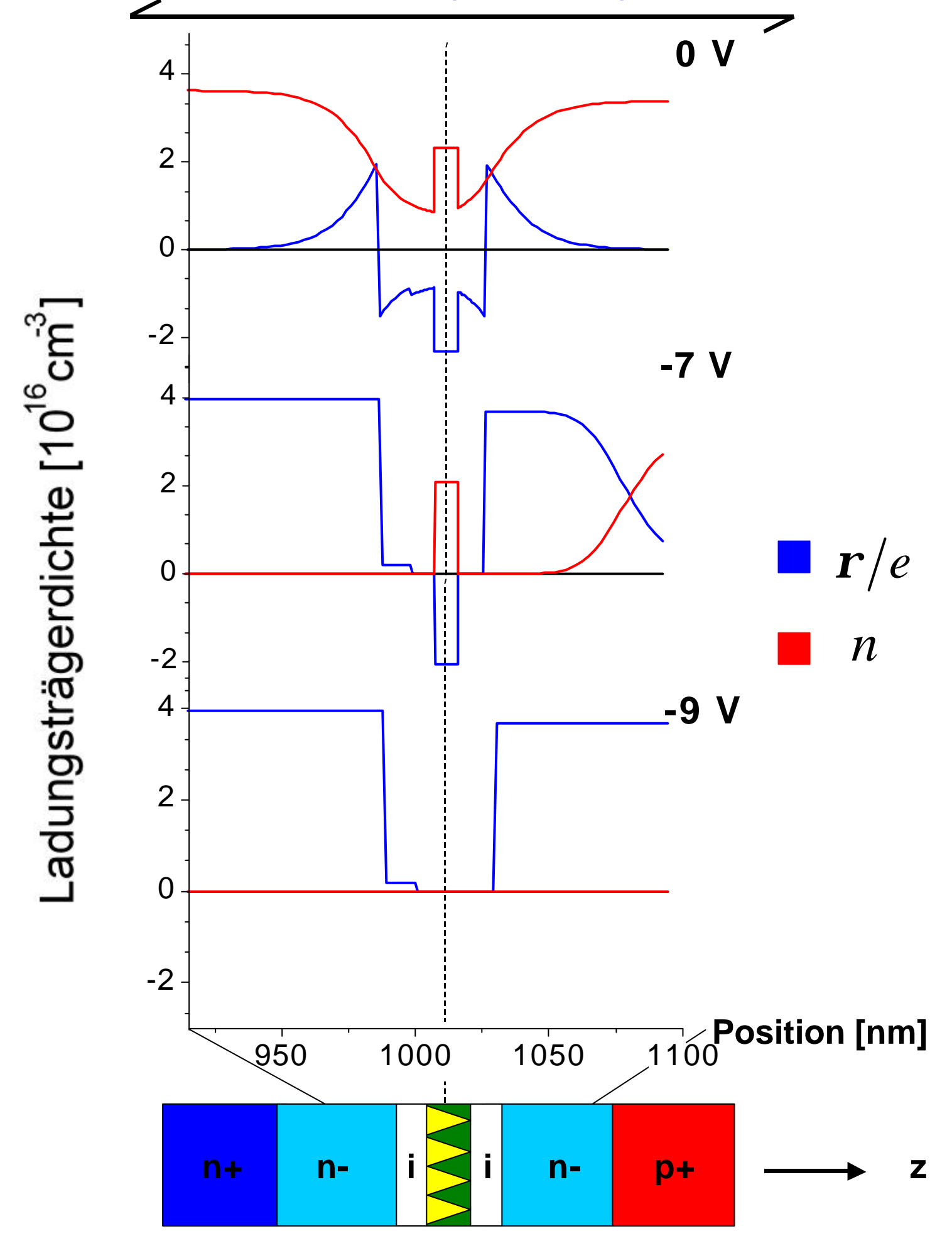






Räumliche Ladungsträgerverteilung S1: InAs Quantenpunkte in pnin-Diode

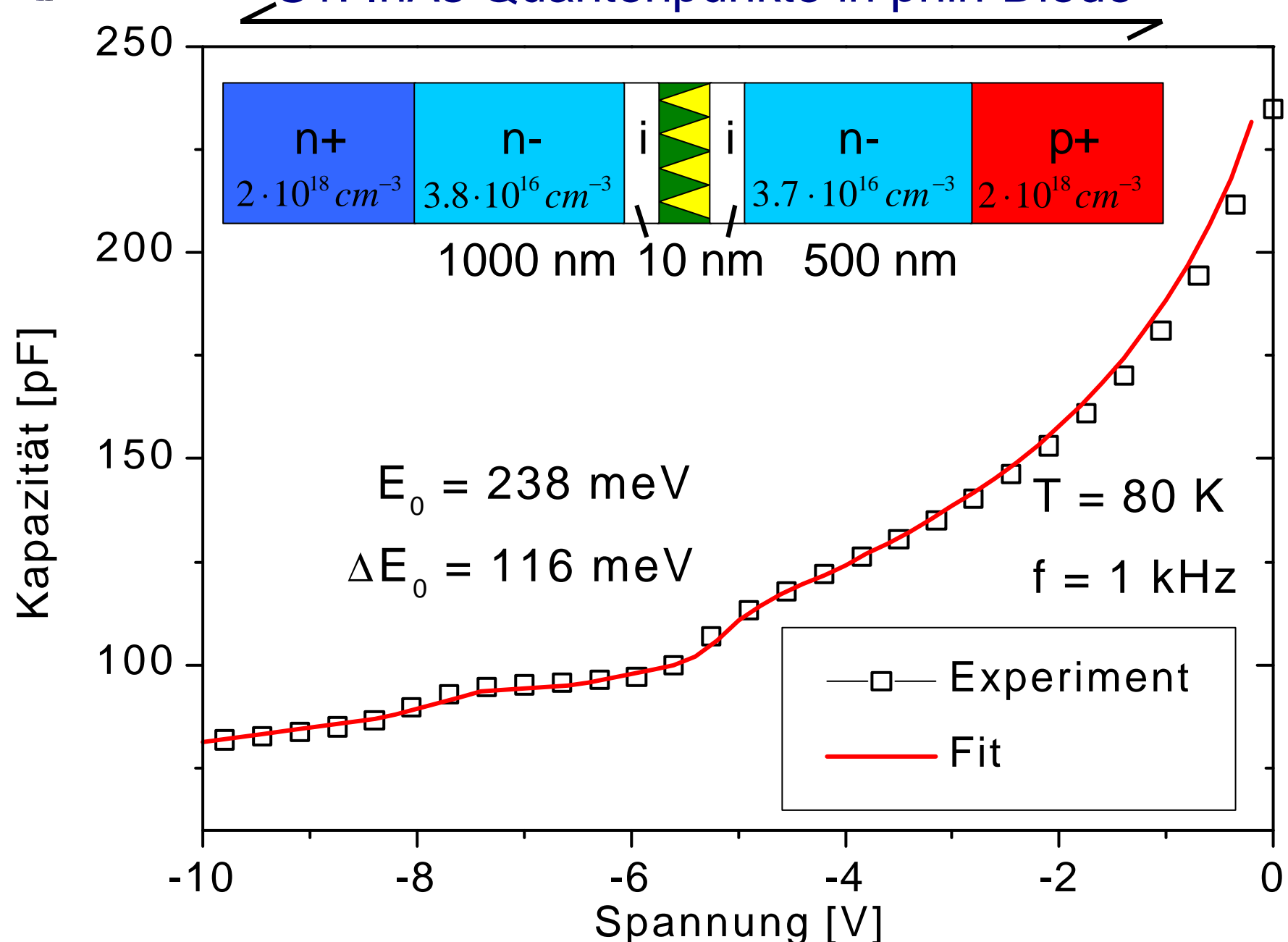






Ergebnisse S1: InAs Quantenpunkte in pnin-Diode



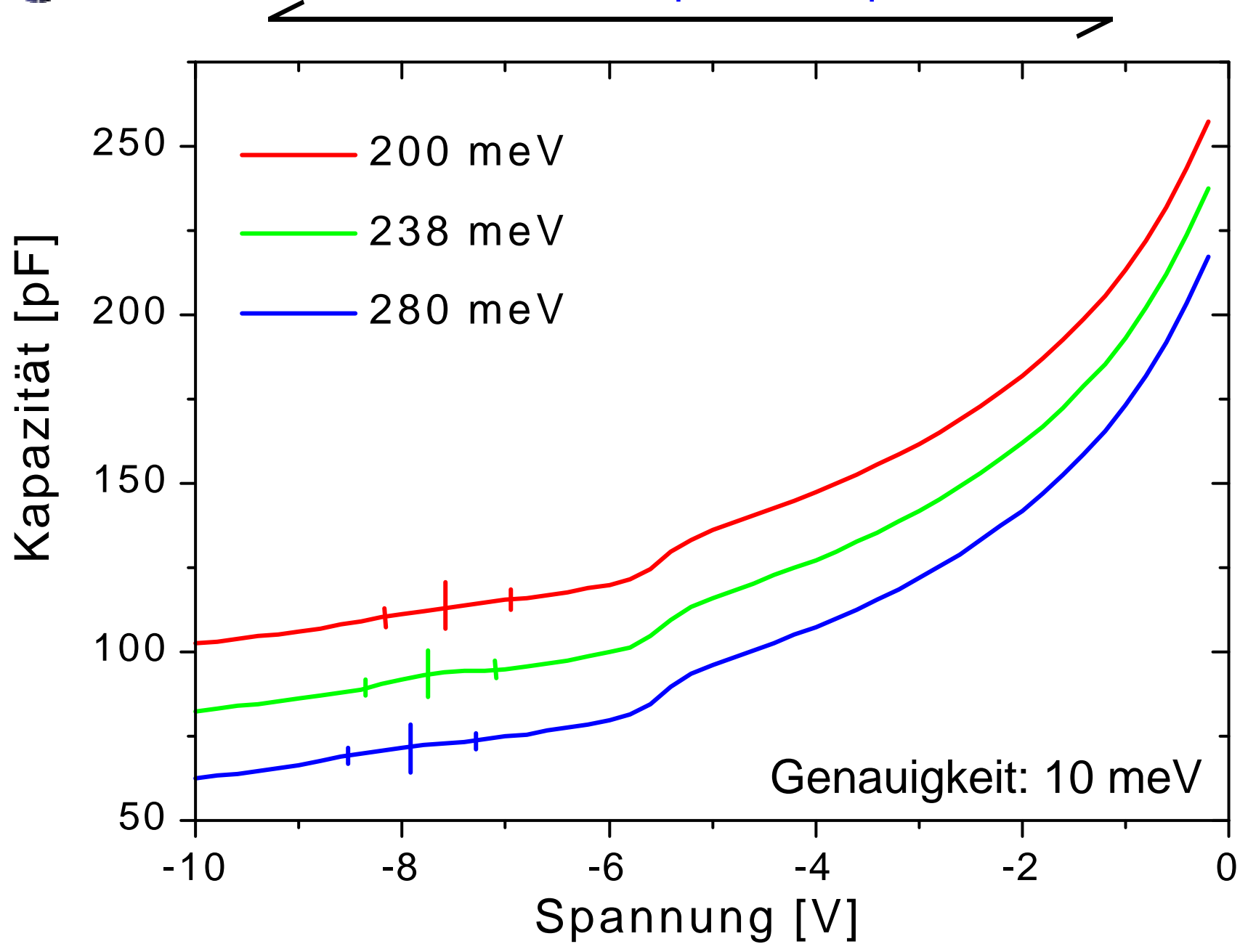




Einfluß der Energieniveaus





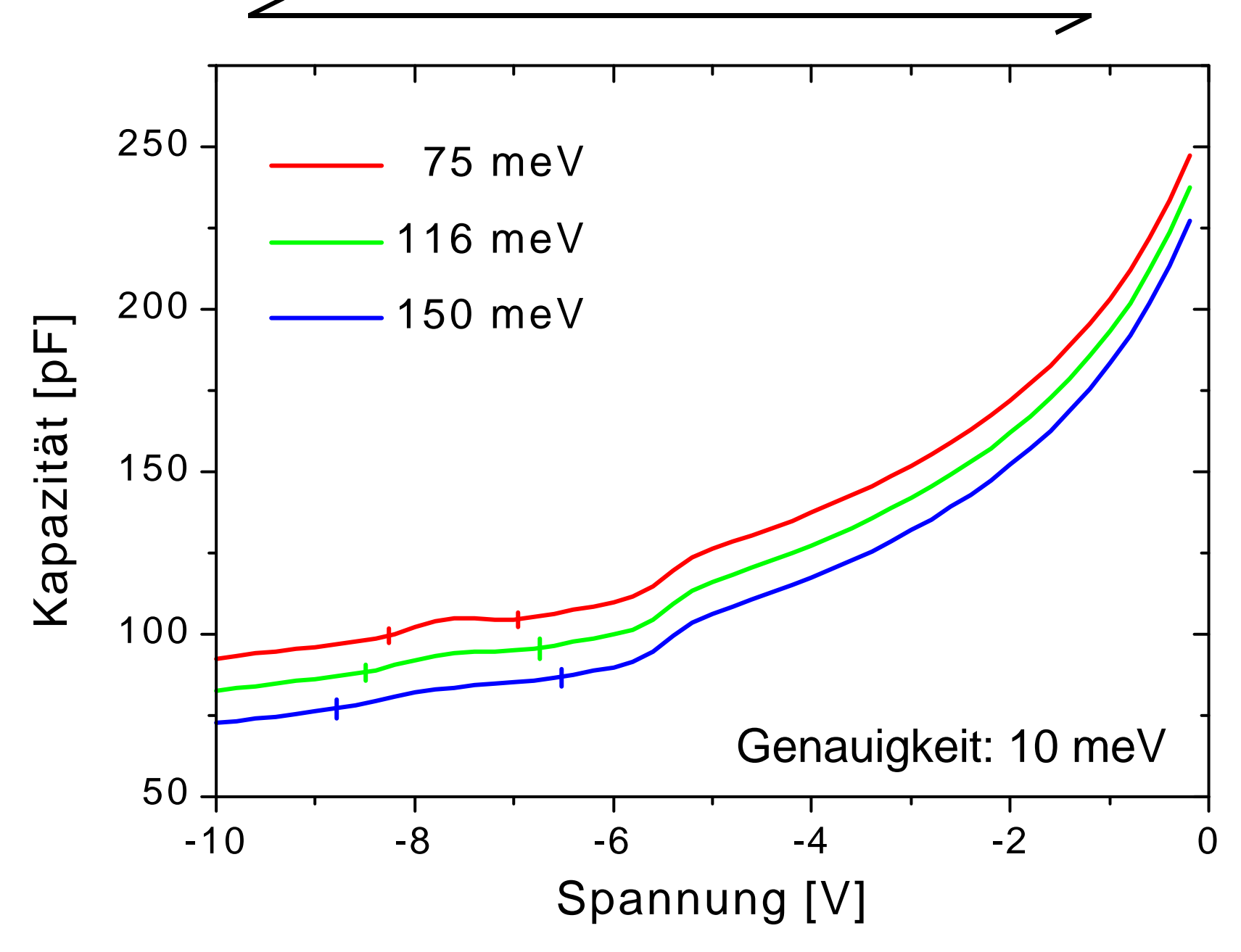




Einfluß der Verbreiterung (Gauß)





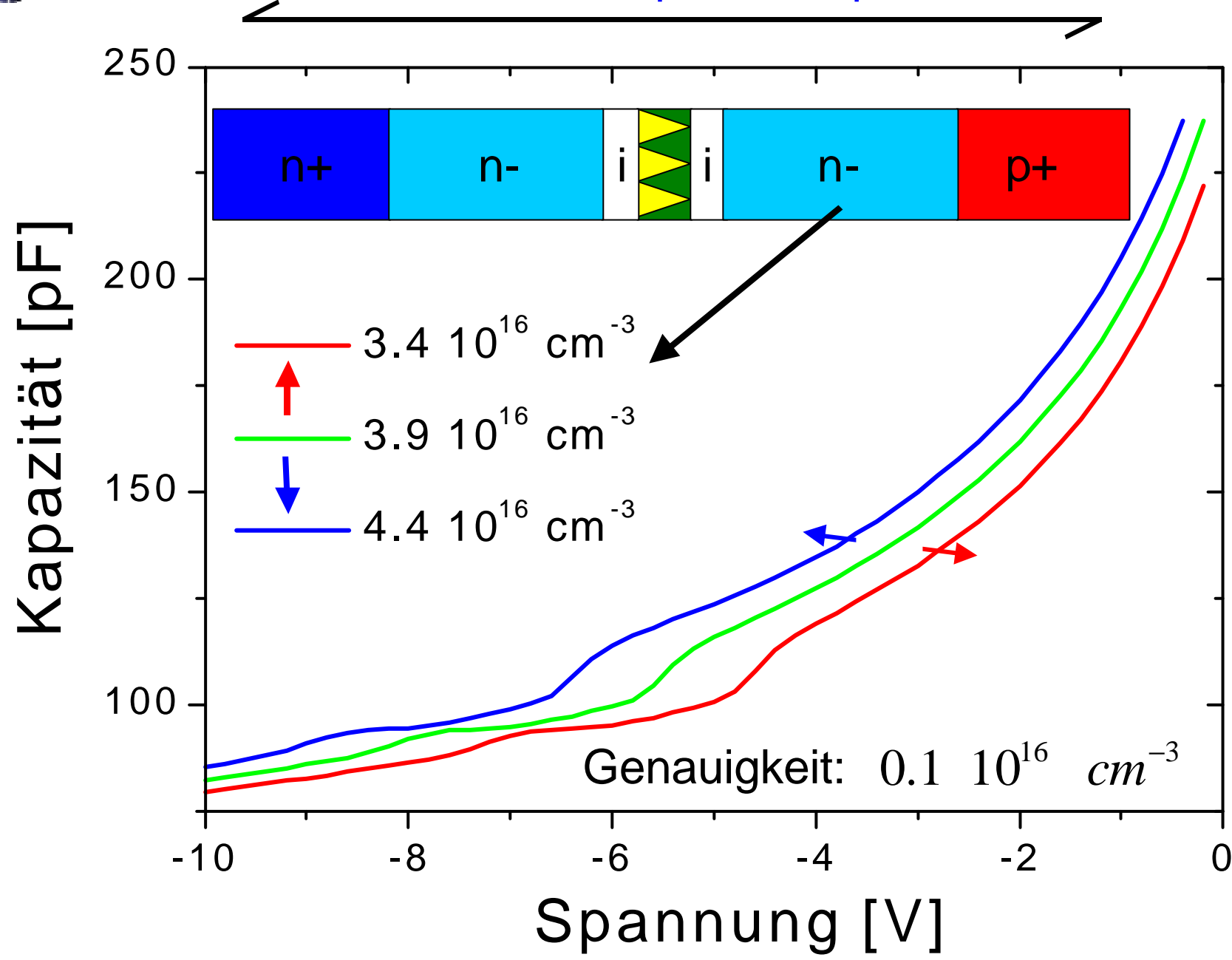




Einfluß der Dotierung





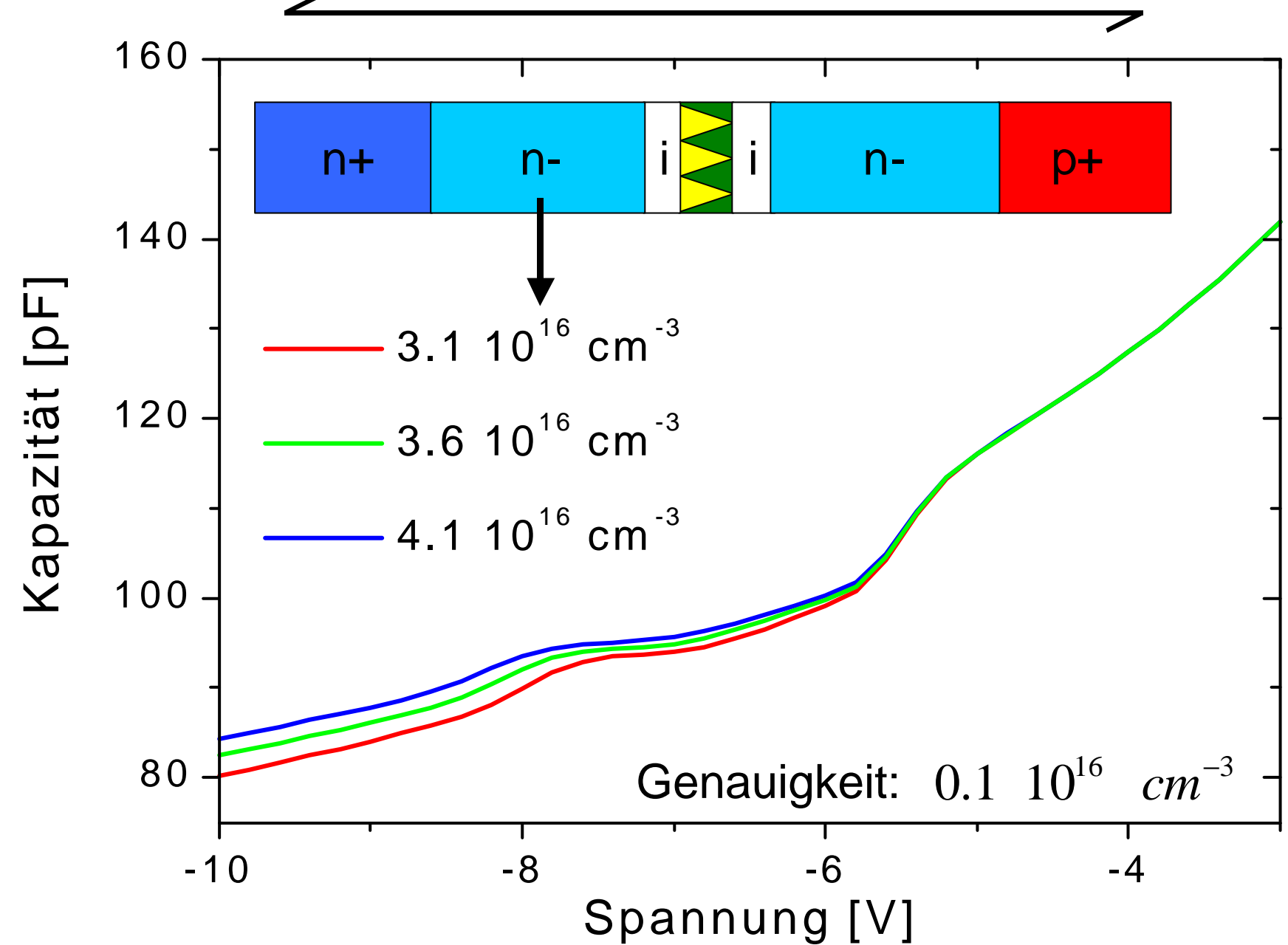




Einfluß der Dotierung



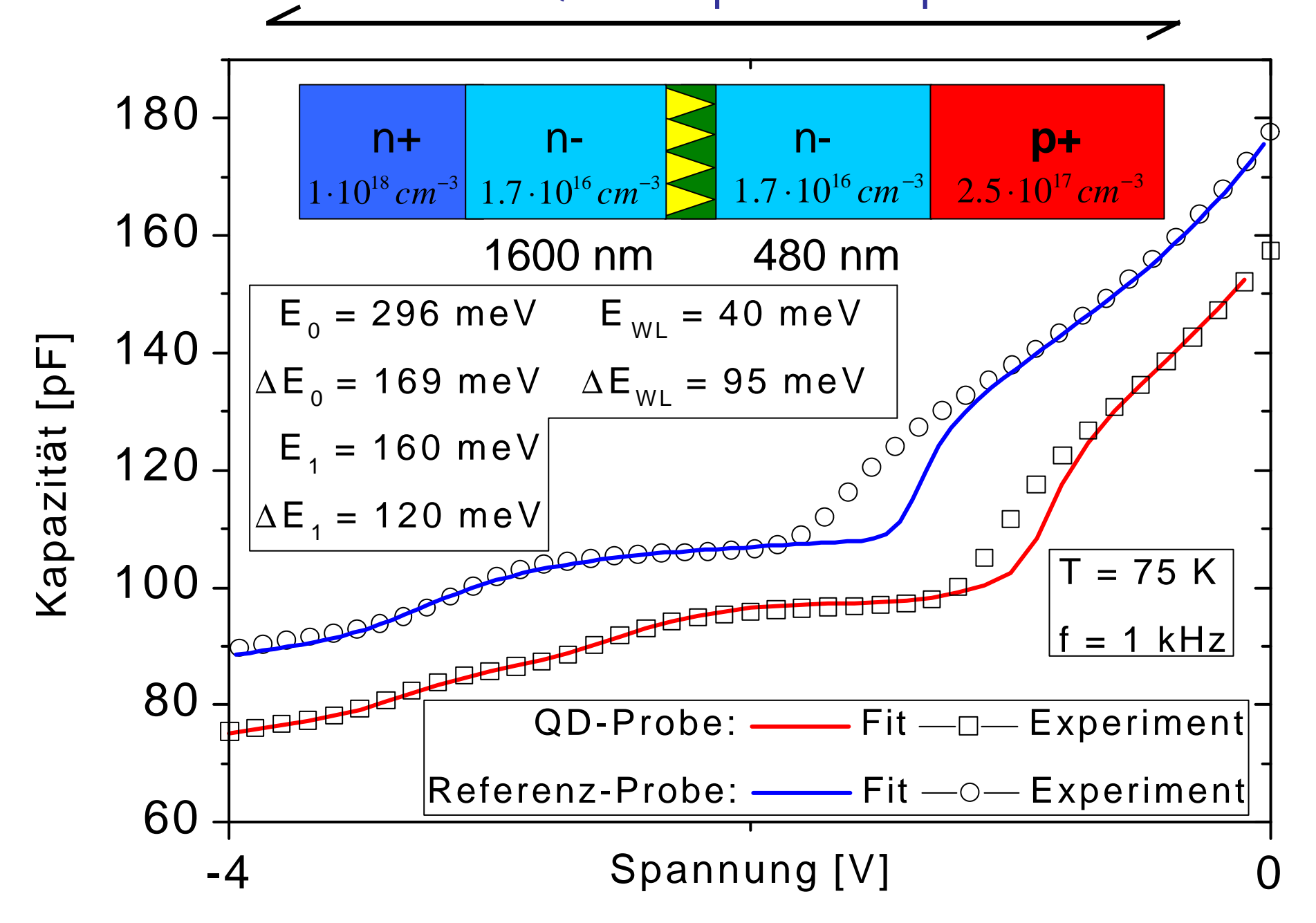






Ergebnisse S2: InAs Quantenpunkte in pn-Diode



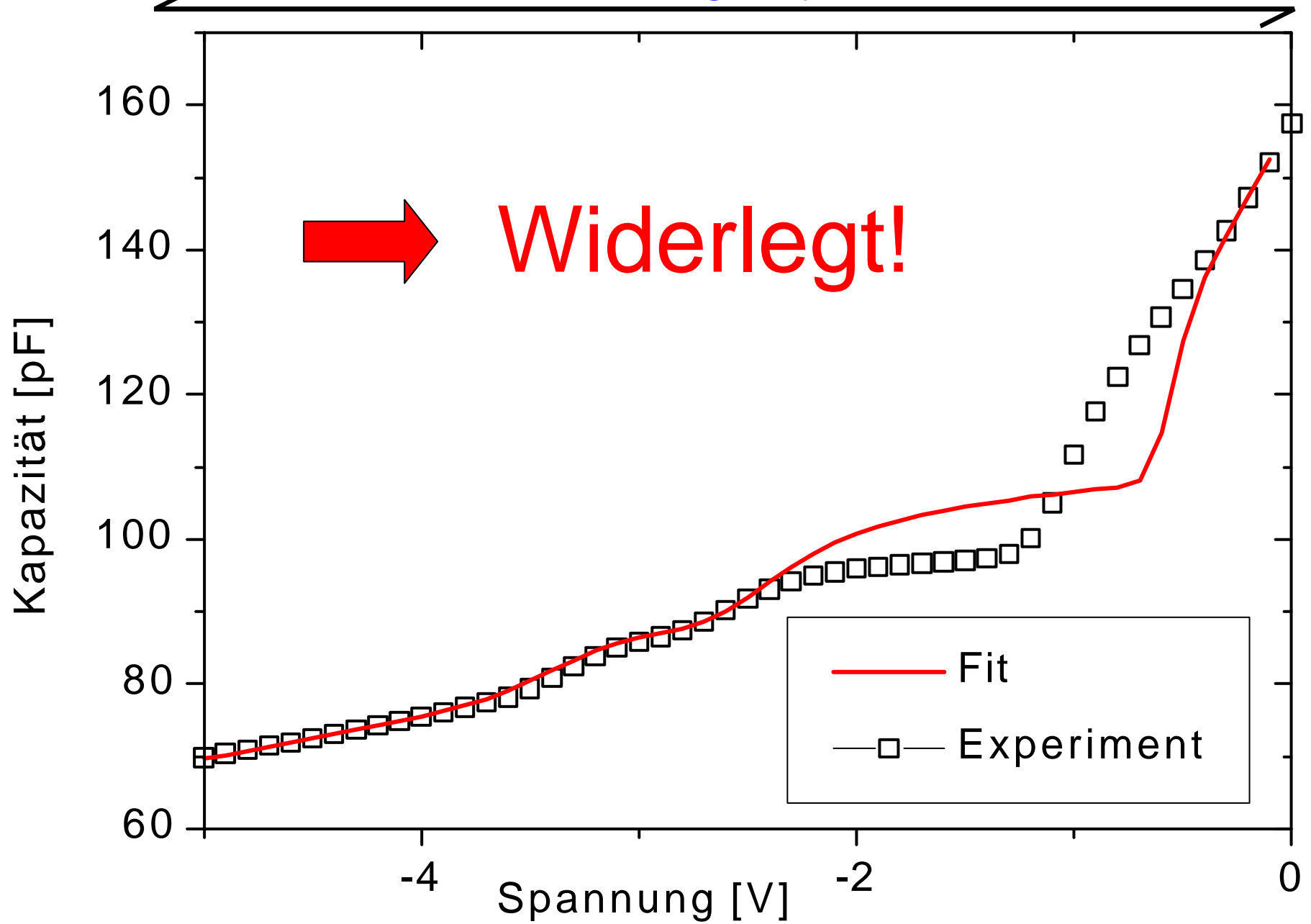




Ergebnisse



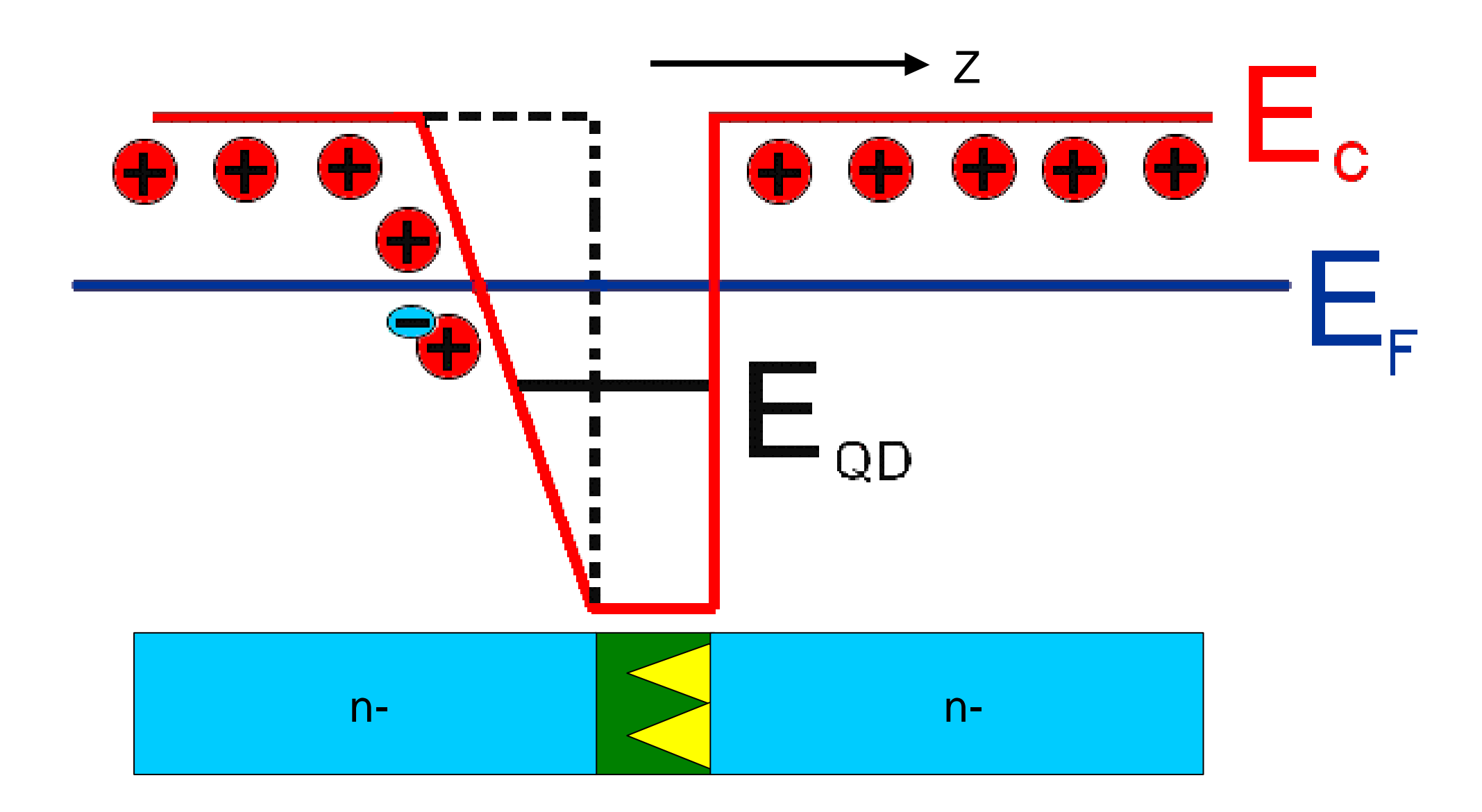












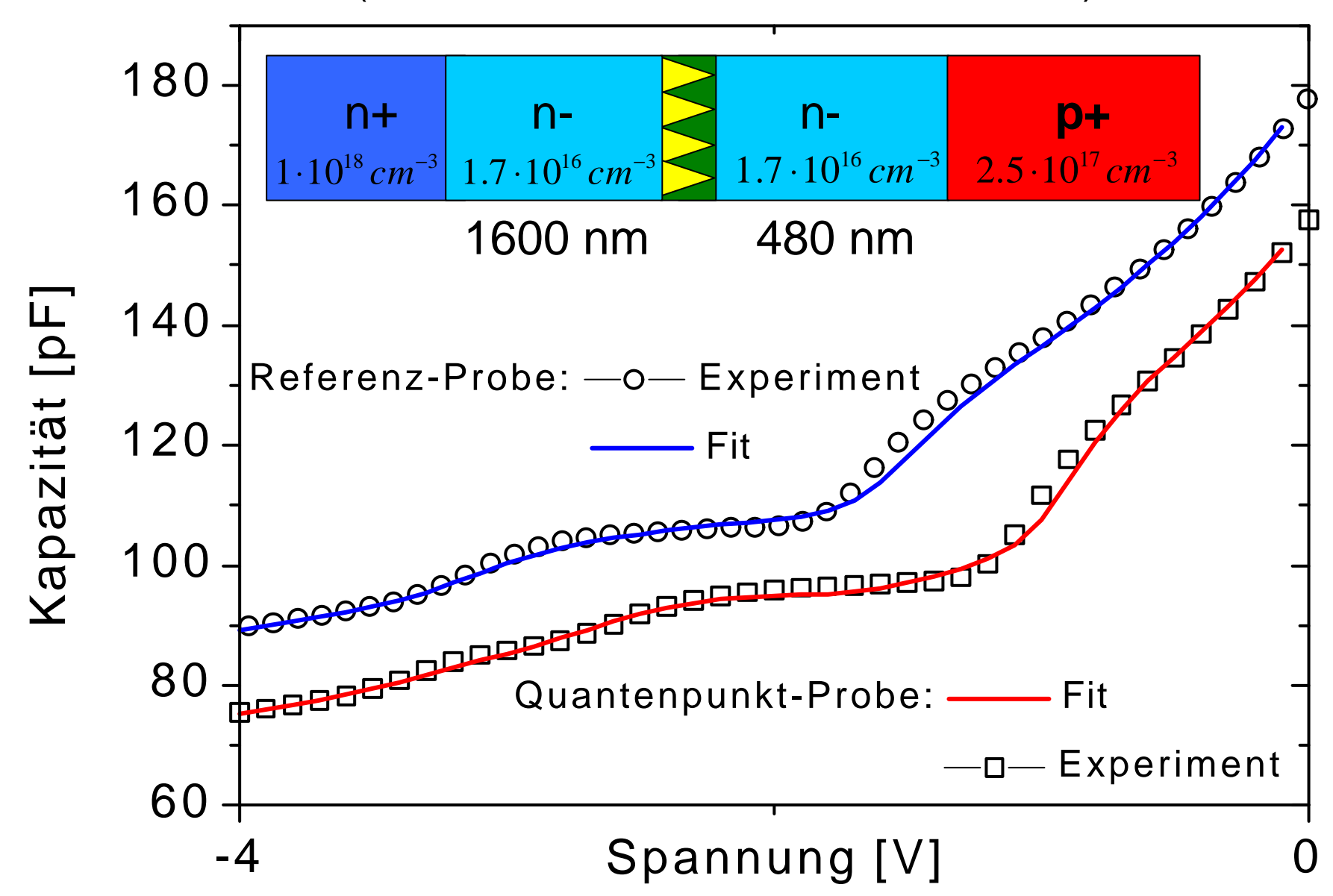


Ergebnisse



Berücksichtigung der In-Diffusion

(XSTM, z.B. P.M. Koenraad, ICPS-25)

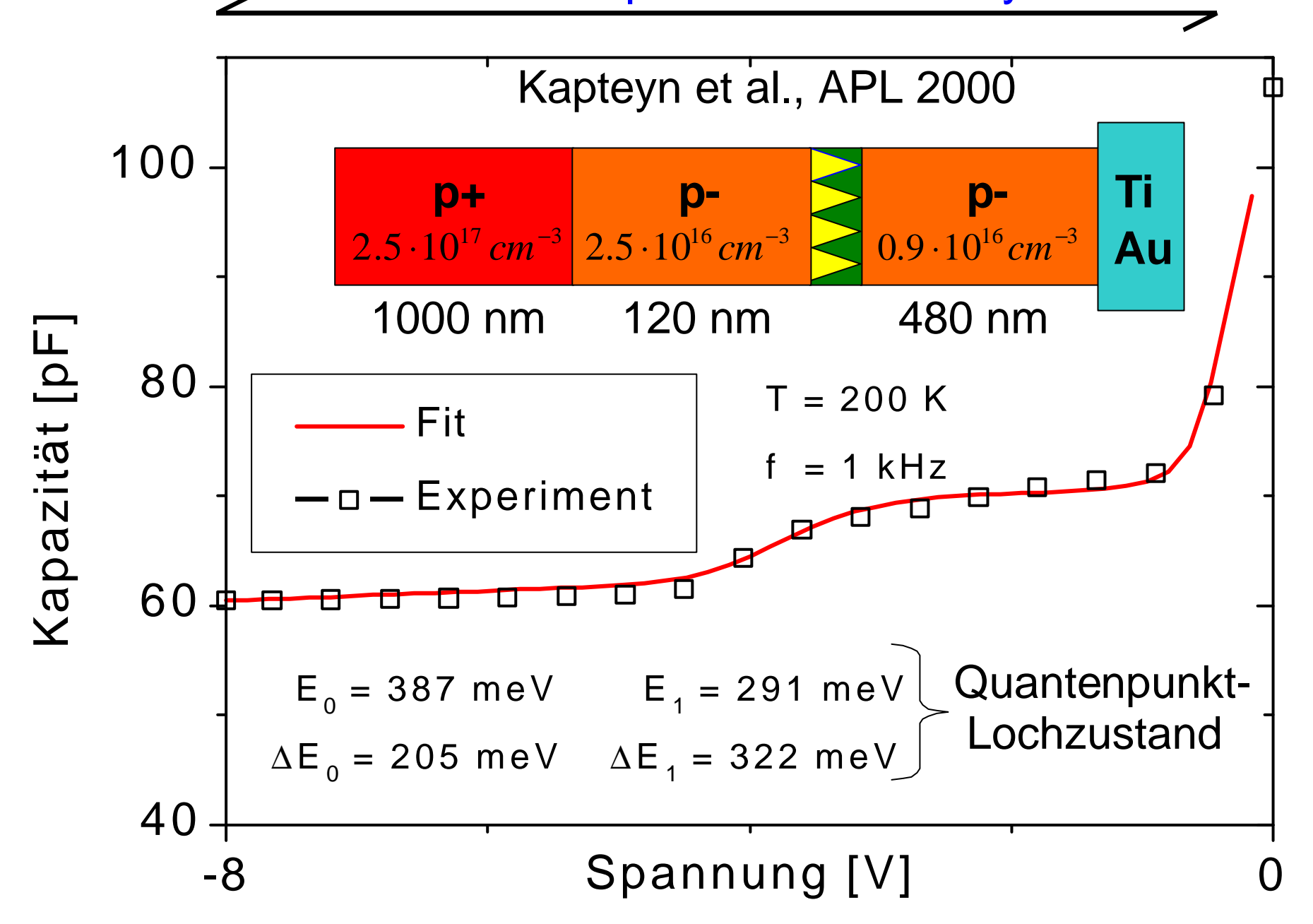




Ergebnisse



S3: Ge Quantenpunkte in Schottky-Diode





Zusammenfassung



- Bestimmung der Energieniveaus von Quantenpunktund Wetting-Layer Zuständen und deren Verbreiterung
- Verschiedene Bauteil Strukturen: pnin-Diode, pn-Diode und Schottky-Diode
- Verschiedene Materialsysteme: Quantenpunkt-Elektronund Lochzustände
- Einfluß von In-Diffusion und Dotierung mit detailliertem Modell

Danksagung:

Volker Türck, TU Berlin - Fitroutine Evolutions-Strategie Jörg Ehehalt, TU Berlin - Messung InAs-Quantenpunkte S1